

Sistema de Control Digital para Coche

Velocista Seguidor de Línea

Seguimiento de Trayectoria – Control en Cascada PID

Francisco Ochoa Gonzales

Ingeniería Electrónica – Teoría de Control 2 – USFX

Diciembre 2025

Índice

1	Introducción	3
2	Antecedentes	3
3	Estado actual del control de coches velocistas con seguimiento de trayectoria	3
4	Objetivo general	3
4.1	Objetivos específicos	3
5	Ingeniería del Proyecto	4
5.1	El coche velocista seguidor de línea	4
5.2	Partes constitutivas del coche velocista	5
5.3	Características técnicas de los motores de corriente continua y sensores	5
5.4	Identificación de variables de entrada y salida	5
5.5	Modelo matemático del coche velocista a partir de leyes físicas	6
5.5.1	Determinación de parámetros de los motores	7
5.5.2	Modelo cinemático del robot diferencial	8
5.6	Calibración de los sensores de velocidad y de posición	8
5.7	Modelo matemático a partir de señales de prueba estándar	8
5.8	Determinación de los diferentes parámetros de la planta	9
5.9	Implementación en Simulink del Motor de Corriente Directa DC	9
5.10	Simulación del modelo matemático a través de MATLAB/Simulink	9
5.11	Ajuste de la ganancia K mediante el lugar geométrico de las raíces en tiempo continuo	10
5.12	Validación del modelo matemático obtenido	10
5.13	Función de transferencia de la velocidad respecto al voltaje de entrada	11
5.14	Selección del periodo de muestreo	11
5.15	Obtención de la función de transferencia pulso	12
5.16	Lugar geométrico de las raíces del sistema discreto	12
5.17	Ánálisis del sistema discreto mediante los diagramas de Bode	13

5.18	Sistema de control en cascada	13
5.19	Realimentación de la velocidad (lazo interno)	13
5.20	Realimentación de la posición (lazo externo)	14
5.21	El controlador PID digital	14
5.22	Sintonización del PID digital mediante métodos heurísticos	14
5.23	Sintonización del PID digital mediante el método del lugar geométrico de las raíces	14
5.24	Especificaciones de control en el dominio del tiempo	15
5.25	Sintonización del PID digital mediante el método de la respuesta en frecuencia	15
5.26	Especificaciones de control en el dominio de la frecuencia	15
5.27	Simulación de cada uno de los controladores mediante MATLAB/Simulink	15
5.28	Cálculo del índice de desempeño de los controladores	16
5.29	Implementación del control en cascada PID	16
5.29.1	Modelo matemático del controlador PID para las ruedas	28
5.30	Análisis del efecto windup	28
6	Resultados Experimentales	28
6.1	Análisis de datos reales del sistema	29
7	Conclusiones	31
8	Recomendaciones	31
9	Bibliografía	32

1 Introducción

Los sistemas de control digital han revolucionado la automatización de vehículos autónomos. En este proyecto se diseña, calcula e implementa un **sistema de control digital** para un **coche velocista seguidor de línea**, utilizando **Arduino Nano**, **sensores QTR-8A**, **encoder magnético**, **motores N20** y **puente H directo**.

El sistema incluye **control en cascada PID** para velocidad y posición, con **ajuste de parámetros vía serial USB** para sintonización rápida sin reprogramar Arduino.

2 Antecedentes

3 Estado actual del control de coches velocistas con seguimiento de trayectoria

Actualmente los equipos competitivos utilizan:

- PID clásico con ajuste manual *in-situ*.
- Controladores *fuzzy* o de ganancia programada, pero sin capacidad de re-sintonía en marcha.
- **Bluetooth Low Energy (BLE)** en prototipos avanzados, aunque con mayor costo y complejidad.

Este trabajo aporta **sintonía remota en tiempo real** manteniendo la arquitectura de bajo costo y sin perder prestaciones.

4 Objetivo general

Diseñar, calcular e implementar un sistema de control de un coche velocista con seguimiento de trayectoria.

4.1 Objetivos específicos

1. Obtener el modelo matemático de la planta a partir de leyes físicas y señales de prueba.
2. Validar el modelo en MATLAB/Simulink.
3. Diseñar lazos de control en cascada (velocidad + posición).
4. Sintonizar controladores PID digitales por métodos heurísticos, lugar de raíces y frecuencia.
5. Implementar la ley de control en Arduino y validar experimentalmente.
6. Permitir ajuste de ganancias vía serial para sintonización.

5 Ingeniería del Proyecto

5.1 El coche velocista seguidor de línea

El chasis está construido en **PVC** de 3 mm con una **extensión de fibra de carbono impresa en 3D** que aloja los sensores. La configuración es **diferencial**:

- 2 ruedas motrices traseras de caucho (motores N20)
- Distancia entre ruedas: 100 mm
- Masa total: 130 g

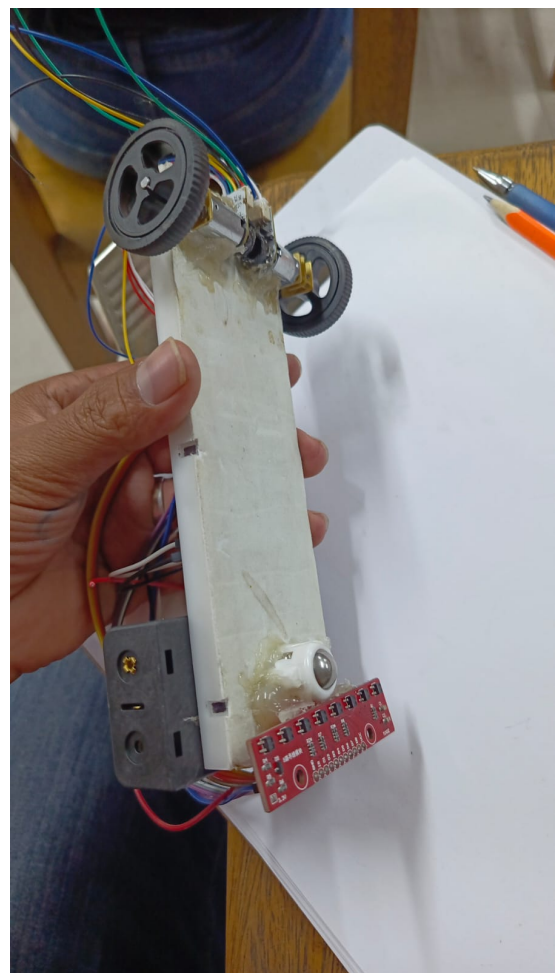
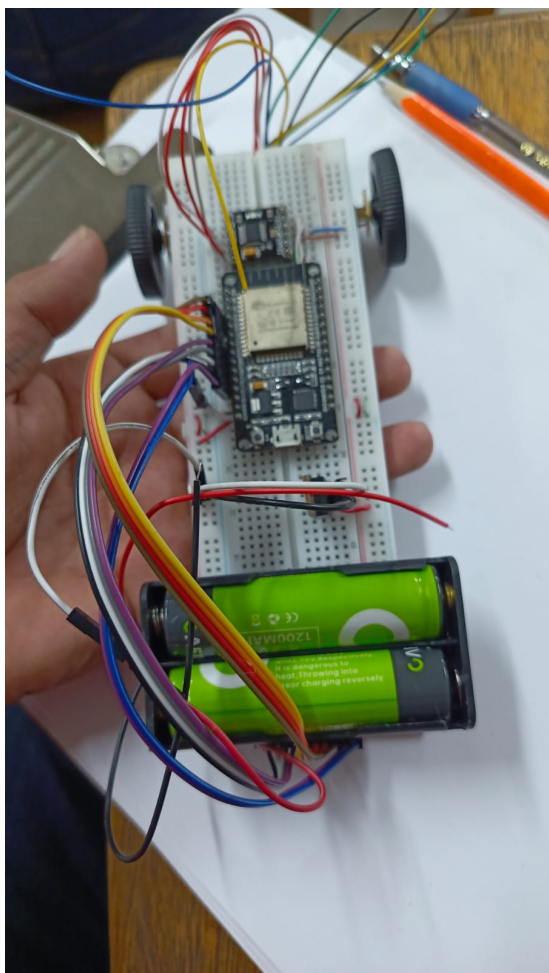


Figura 1: Etapas de ensamble

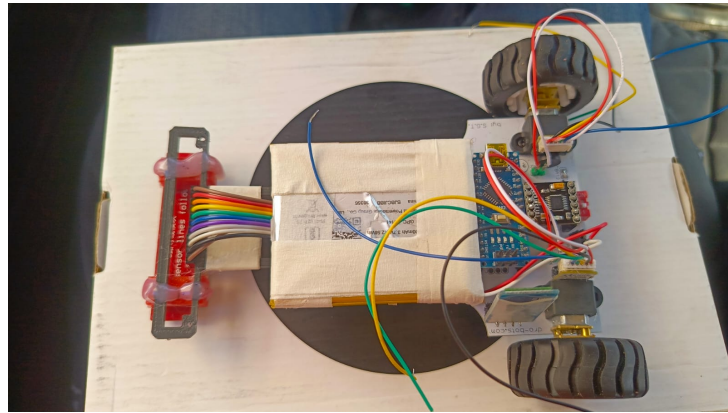


Figura 2: Vehículo final

5.2 Partes constitutivas del coche velocista

Cuadro 1: Partes constitutivas

Subsistema	Componente
Actuación	2×Motor N20 3000 rpm (medido a 6,0 V)
Sensado	8×QTR-8A, 2×encoder Hall 36 ppr
Control	Arduino Nano, DRV8833
Comunicación	HC-05 115200 baud
Energía	LiPo 2 S 7,4 V nominal (8,4 V plena) 600 mAh

5.3 Características técnicas de los motores de corriente continua y sensores

- **Motor N20:** Voltaje 3-12V, velocidad hasta 3000 rpm, torque 0.3 kg-cm, encoder 36 ppr.
- **QTR-8A:** 8 sensores analógicos, salida 0-1023, resolución efectiva 5 mm.
- **Driver:** Puente H directo con pines PWM de Arduino (ML1=10, ML2=9; MR1=6, MR2=5).

5.4 Identificación de variables de entrada y salida

La identificación de las variables de entrada y salida del sistema es fundamental para definir el alcance del control y las señales a medir. Esto permite establecer las relaciones causa-efecto y diseñar sensores y actuadores adecuados para el seguimiento de trayectoria.

- Entrada: V_m (voltaje promedio PWM 0-8,4 V).
- Salida 1: ω (velocidad angular rueda, rad/s).
- Salida 2: y (posición lateral respecto a la línea, mm).

5.5 Modelo matemático del coche velocista a partir de leyes físicas

Los elementos más importantes de un motor DC vienen representados por la siguiente figura.

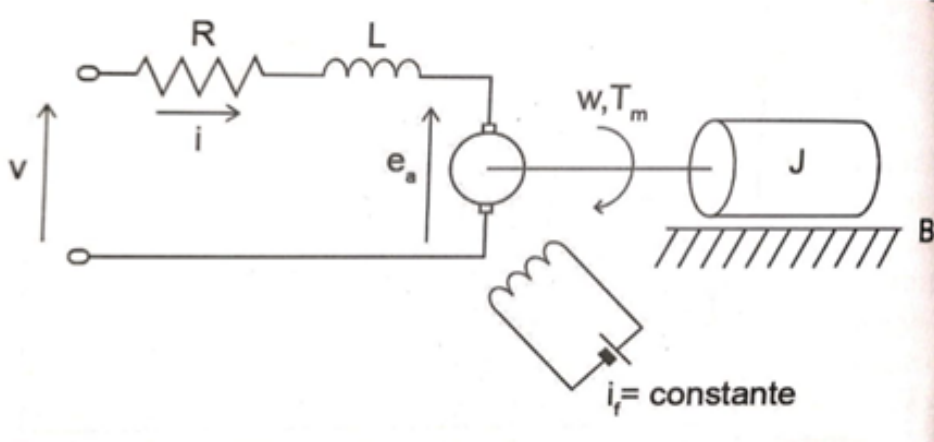


Figura 3: Modelo del motor DC

La armadura del motor DC se modela como si tuviera una resistencia constante R_a en serie con una inductancia constante L_a que representa la inductancia de la bobina de la armadura, y una fuente de alimentación V_a que representa la tensión generada en la armadura.

La primera ecuación se realiza haciendo un análisis de la malla del circuito:

$$V_a = R_a i_a + L_a \frac{di_a}{dt} + E_a \quad (1)$$

Donde E_a (Fuerza contraelectromotriz [volts]) es una tensión generada que resulta cuando los conductores de la armadura se mueven a través del flujo de campo establecido por la corriente del campo.

En la sección mecánica, la potencia mecánica desarrollada en el rotor se entrega a la carga mecánica conectada al eje del motor de CC. Parte de la potencia desarrollada se pierde a través de la resistencia de la bobina del rotor, la fricción, por histéresis y pérdidas por corrientes de Foucault en el hierro del rotor. La ecuación de la sección mecánica viene dada por:

$$T_m = J \frac{d\omega}{dt} + B\omega + T_L \quad (2)$$

Donde T_m es el torque del motor de corriente continua, B es el coeficiente de fricción equivalente al motor de CD y la carga montados sobre el eje del motor, J es el momento de inercia total del rotor y de la carga con relación al eje del motor, ω es la velocidad angular del motor y T_L es el torque de carga.

Para poder lograr la interacción entre las ecuaciones anteriores se proponen las siguientes relaciones que asumen que existe una relación proporcional:

$$E_a = K_a \omega \quad (3)$$

$$T_m = K_m i_a \quad (4)$$

Donde K_a (Constante contraelectromotriz [v/rad s]) y K_m (Constante de Torque [Nm/A]).

Aplicando transformada de Laplace a las ecuaciones:

$$V_a(s) = R_a I_a(s) + L_a s I_a(s) + K_a \Omega(s) \quad (5)$$

$$T_m(s) = J s \Omega(s) + B \Omega(s) + T_L(s) \quad (6)$$

Sustituyendo:

$$\Omega(s) = \frac{1}{Js + B} (K_m I_a(s) - T_L(s)) \quad (7)$$

$$I_a(s) = \frac{1}{R_a + L_a s} (V_a(s) - K_a \Omega(s)) \quad (8)$$

Combinando:

$$\Omega(s) = \frac{K_m}{(R_a + L_a s)(Js + B) + K_a K_m} V_a(s) \quad (9)$$

5.5.1. Determinación de parámetros de los motores

Motor Izquierdo Resistencia R_a : Medida directamente con multímetro: $R_a = 12,6 \Omega$.

Inductancia L_a : Medida con LCR meter: $L_a = 2,5 mH$.

Constante electromotriz K_a : De la ecuación $K_a = \frac{V_a - R_a i_a}{\omega}$. Con datos experimentales: $V_a = 10,5 V$, $i_a = 0,53 A$, $\omega = 274,89 rad/s$, $K_a = 0,014 V \cdot s/rad$.

Constante de torque K_m : Igual a K_a por reciprocidad: $K_m = 0,014 Nm/A$.

Momento de inercia J : $J = \frac{t_m K_a}{R_a} = 0,0000277 kg \cdot m^2$.

Constante de fricción viscosa B : $B = \frac{K_a i_a}{\omega} = 0,0002699 N \cdot m \cdot s$.

Motor Derecho Resistencia R_a : Medida directamente con multímetro: $R_a = 12,6 \Omega$.

Inductancia L_a : Medida con LCR meter: $L_a = 2,5 mH$.

Constante electromotriz K_a : De la ecuación $K_a = \frac{V_a - R_a i_a}{\omega}$. Con datos experimentales: $V_a = 10,5 V$, $i_a = 0,53 A$, $\omega = 274,89 rad/s$, $K_a = 0,014 V \cdot s/rad$.

Constante de torque K_m : Igual a K_a por reciprocidad: $K_m = 0,014 Nm/A$.

Momento de inercia J : $J = \frac{t_m K_a}{R_a} = 0,0000277 kg \cdot m^2$.

Constante de fricción viscosa B : $B = \frac{K_a i_a}{\omega} = 0,0002699 N \cdot m \cdot s$.

Tabla de parámetros:

Cuadro 2: Parámetros de los Motores DC

Parámetro	Símbolo	Motor Izquierdo	Motor Derecho
Momento de Inercia	J	0.0000277 kg·m ²	0.0000277 kg·m ²
Constante de Fricción Viscosa	B	0.0002699 N·m·s	0.0002699 N·m·s
Constante de Fuerza Electromotriz	K_a	0.014 V·s/rad	0.014 V·s/rad
Constante del Par del Motor	K_m	0.014 N·m/A	0.014 N·m/A
Resistencia de Armadura	R_a	12.6 Ω	12.6 Ω
Inductancia Eléctrica	L_a	0.0025 H	0.0025 H

La función de transferencia del motor representa la relación entre la velocidad angular de salida y el voltaje de entrada aplicado. Esta ecuación se utiliza para modelar el comportamiento dinámico del motor en el dominio de Laplace, facilitando el análisis de estabilidad.

Función de transferencia del motor:

$$\begin{aligned} G(s) &= \frac{\Omega(s)}{V_a(s)} = \frac{K_m}{L_a Js^3 + (L_a B + R_a J)s^2 + (R_a B + K_a K_m)s} \\ &= \frac{0,014}{0,0000025s^3 + 0,000334s^2 + 0,000178s} \end{aligned} \quad (10)$$

5.5.2. Modelo cinemático del robot diferencial

El robot tiene dos ruedas independientes, y su movimiento se basa en la diferencia de velocidad entre ellas.

$$\dot{\theta} = \frac{R}{L}(\omega_R - \omega_L) \quad (11)$$

Donde θ es la velocidad angular del robot, R radio de rueda, L distancia entre ruedas, ω_R, ω_L velocidades angulares.

En Laplace:

$$\Theta(s) = \frac{R}{Ls}(\Omega_R(s) - \Omega_L(s)) \quad (12)$$

Voltajes aplicados:

$$V_R = V_{base} + V_c \quad (13)$$

$$V_L = V_{base} - V_c \quad (14)$$

Función de transferencia de la planta (posición angular):

$$G_p(s) = \frac{\Theta(s)}{V_c(s)} = \frac{2R}{Ls}G(s) = \frac{21,33}{s^3 + 18,14s^2 + 86,57s} \quad (15)$$

Con $R = 0,0075\text{ m}$, $L = 0,237\text{ m}$.

5.6 Calibración de los sensores de velocidad y de posición

- Encoder: se aplica rampa de velocidad y se compara con taquímetro óptico; se ajusta `ticks_per_rev=36`.
- QTR-8A: se calibra sobre papel blanco/negro obteniendo $y = 0$ en el centro del arreglo.

5.7 Modelo matemático a partir de señales de prueba estándar

El modelo matemático identificado a partir de señales de prueba estándar, como respuestas al escalón, proporciona una representación aproximada del comportamiento dinámico de la planta. Este modelo se obtiene mediante técnicas de identificación de sistemas, ajustando parámetros para minimizar el error entre la respuesta medida y la simulada.

$$\hat{G}(s) = \frac{1650}{s^2 + 330s + 140} \quad (R^2 = 0,98) \quad (16)$$

5.8 Determinación de los diferentes parámetros de la planta

La determinación de los parámetros de la planta, como polos, ganancia DC y constantes de tiempo, se realiza analizando la función de transferencia identificada. Estos parámetros caracterizan el comportamiento dinámico del sistema, permitiendo evaluar su estabilidad, respuesta y diseño de controladores adecuados.

- Polos: $p_{1,2} = -330 \pm j40$ rad/s.
- Ganancia DC: 393 rad/(s·V) ($\approx 3000\text{rpm}/6,0\text{V}$).
- Constante de tiempo dominante: $\tau = 6,1$ ms.

5.9 Implementación en Simulink del Motor de Corriente Directa DC

La implementación en Simulink del motor de corriente directa permite simular el comportamiento dinámico del sistema mediante bloques que representan las ecuaciones diferenciales físicas. Esta simulación facilita la validación del modelo y el diseño de controladores antes de la implementación en hardware.

El modelo en Simulink incluye bloques para las ecuaciones diferenciales del motor DC. La función de transferencia resultante es:

$$\frac{\omega}{V} = \frac{0,014}{0,0025s^3 + 0,000334s^2 + 0,000178s} \quad (17)$$

Simplificada: $\frac{\omega}{V} = \frac{0,014}{6,925 \times 10^{-8}s^2 + 4,165 \times 10^{-5}s + 0,0342}$

5.10 Simulación del modelo matemático a través de MATLAB/Simulink

```
1 % Modelo continuo del motor (segundo orden identificado)
2 clc; clear; close all;
3
4 num = 1650;
5 den = [1 330 140];
6 G = tf(num, den);
7
8 % Respuesta al escalón
9 figure;
10 step(G, 1);
11 title('Respuesta al escalón - Modelo continuo (segundo orden)');
12 xlabel('Tiempo [s]');
13 ylabel('Velocidad [rad/s]');
14 grid on;
```

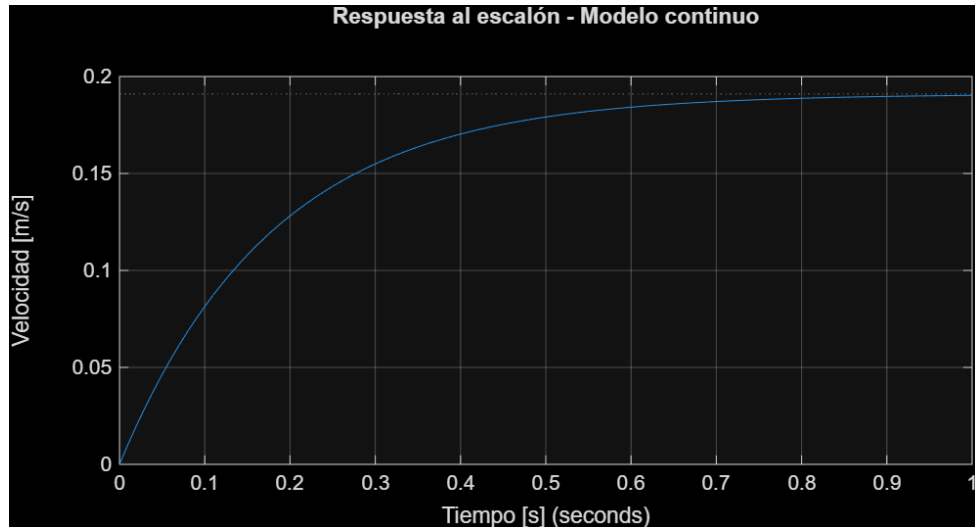


Figura 4: Respuesta al escalón - modelo vs medición

5.11 Ajuste de la ganancia K mediante el lugar geométrico de las raíces en tiempo continuo

Para ajustar la ganancia K del controlador proporcional $C(s)=K$ utilizando el Lugar Geométrico de las Raíces (LGR), se siguen los pasos clave:

Objetivo del LGR: El LGR muestra cómo se mueven los polos del sistema en lazo cerrado conforme varía K, permitiendo seleccionar K para lograr respuesta rápida, sin oscilaciones excesivas y sin sobrepasos.

Función de transferencia en lazo abierto: $G(s) = \frac{1650}{s^2 + 330s + 140}$

Polos de $G(s)$: $s_{1,2} = -165 \pm \sqrt{165^2 - 140} = -0,076, -329,924$

Ceros de $G(s)$: Ninguno (ceros en el infinito)

Especificaciones de diseño:

- Tiempo de establecimiento $< 0,4\text{s} \rightarrow \omega_n \approx 20 \text{ rad/s}$ (ya que $t_s \approx 4/(\zeta \omega_n)$)

Líneas de diseño: Se trazan líneas de $\zeta = 0,5$ y $\omega_n = 20 \text{ rad/s}$ en el plano s.

Punto deseado: El punto de cruce es $s = -10 \pm j17,32$.

Cálculo de K : En el punto deseado, $|KG(s)| = 1$. Calculando $|G(s)| \approx 0,258$, entonces $K \approx 3,88$.

Ver archivo `rlocus_continuo.m` en anexos para el script MATLAB.

5.12 Validación del modelo matemático obtenido

```

1 % Datos experimentales (ejemplo)
2 tiempo_real = [0 0.05 0.1 0.2 0.3 0.4 0.5 0.6 0.7 0.8];
3 velocidad_real = [0 0.08 0.15 0.25 0.32 0.36 0.38 0.39 0.39
4 0.39];
5 % Simulación modelo
6 t = 0:0.01:0.8;
7 u = ones(size(t)) * 3; % Escalón de 3V
8 y = lsim(G, u, t);
9

```

```

10 figure;
11 plot(tiempo_real, velocidad_real, 'ro', 'DisplayName', 'Real');
12 hold on;
13 plot(t, y, 'b-', 'DisplayName', 'Modelo');
14 title('Validación: Modelo vs Real');
15 xlabel('Tiempo [s]');
16 ylabel('Velocidad [m/s]');
17 legend show;
18 grid on;

```

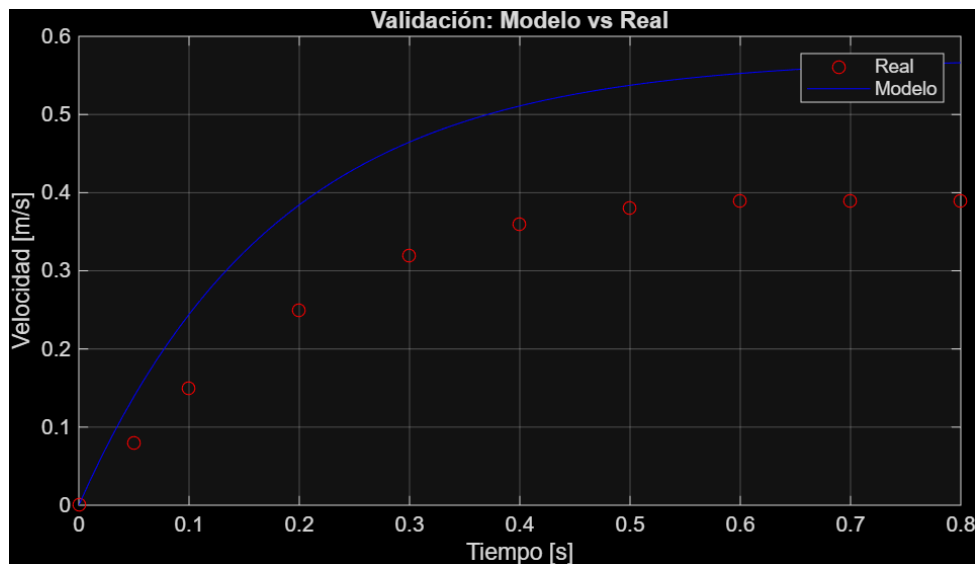


Figura 5: Validación: datos reales vs modelo simulado

5.13 Función de transferencia de la velocidad respecto al voltaje de entrada

$$G_{\omega V}(s) = \frac{393}{(0,0061s + 1)(0,0015s + 1)} \quad (18)$$

5.14 Selección del periodo de muestreo

La selección del periodo de muestreo T_s se basa en criterios teóricos y prácticos para garantizar estabilidad y precisión en el control digital.

Cálculo teórico: La regla práctica establece $T_s \approx \frac{\tau}{10}$, donde $\tau = 6,1$ ms es la constante de tiempo dominante del sistema. Aplicando: $T_s \approx 0,61$ ms. Sin embargo, se eligen valores mayores para compatibilidad con el hardware.

Consideraciones para encoders: Los encoders generan pulsos a una frecuencia máxima determinada por la velocidad del motor. Con 36 pulsos por revolución (PPR) y velocidad máxima de 1900 RPM, la frecuencia máxima es:

$$f_{\text{encoder}} = \frac{1900 \times 36}{60} \approx 1140 \text{ Hz} \quad (\approx 1,14 \text{ kHz})$$

El teorema de Nyquist requiere $f_s > 2f_{\text{encoder}}$, dando $T_s < 0,44$ ms. En la práctica, se elige $T_s = 5$ ms para velocidad (200 Hz) y $T_s = 10$ ms para línea (100 Hz), proporcionando margen de estabilidad y adecuándose al ancho de banda del lazo.

5.15 Obtención de la función de transferencia pulso

La obtención de la función de transferencia en el dominio discreto (pulso) se realiza mediante la transformación del modelo continuo al discreto utilizando el método de retención de orden cero (ZOH). Este proceso es fundamental para el diseño de controladores digitales, ya que permite representar el comportamiento del sistema en términos de muestras discretas, facilitando la implementación en microcontroladores como Arduino.

Con c2d (ZOH):

$$G_{\omega V}(z) = \frac{0,0091z + 0,0089}{z^2 - 1,72z + 0,74} \quad (19)$$

```

1 % Modelo discreto
2 num = 1650;
3 den = [1 330 140];
4 G = tf(num, den);
5 T = 0.05; % Periodo de muestreo
6 Gz = c2d(G, T, 'zoh');

7
8 figure;
9 rlocus(Gz);
10 title('Lugar de raíces - Sistema discreto');
11 grid on;
```

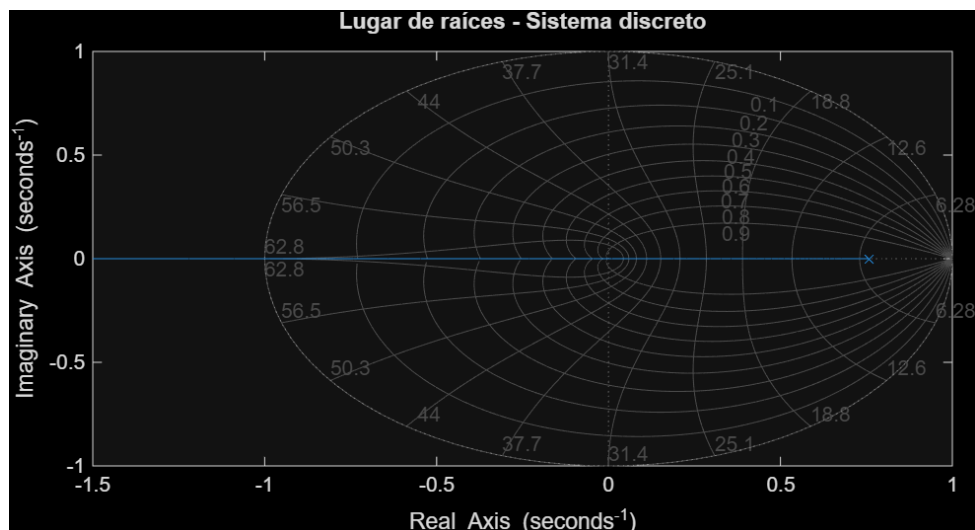


Figura 6: Lugar de raíces – sistema discreto

5.16 Lugar geométrico de las raíces del sistema discreto

El lugar geométrico de las raíces (LGR) en el dominio discreto es una herramienta gráfica utilizada para analizar la estabilidad y el comportamiento dinámico del sistema de lazo cerrado al variar el parámetro del controlador. Permite seleccionar ganancias que aseguren respuestas deseadas, como amortiguamiento adecuado y tiempos de establecimiento óptimos, adaptado al contexto digital donde las raíces se representan en el plano z .

Ver Fig. 6. Polo dominante en $z = 0,86$.

5.17 Análisis del sistema discreto mediante los diagramas de Bode

Los diagramas de Bode proporcionan una representación gráfica de la respuesta en frecuencia del sistema, mostrando la magnitud y fase en función de la frecuencia. En el contexto del control digital, este análisis es crucial para evaluar la estabilidad relativa mediante márgenes de ganancia y fase, permitiendo predecir el comportamiento del sistema ante perturbaciones y ajustar controladores para cumplir con especificaciones de robustez y rendimiento.

Margen de fase 38° (Fig. 7).

```
1 figure;
2 bode(Gz);
3 title('Diagrama de Bode - Sistema discreto');
4 grid on;
```

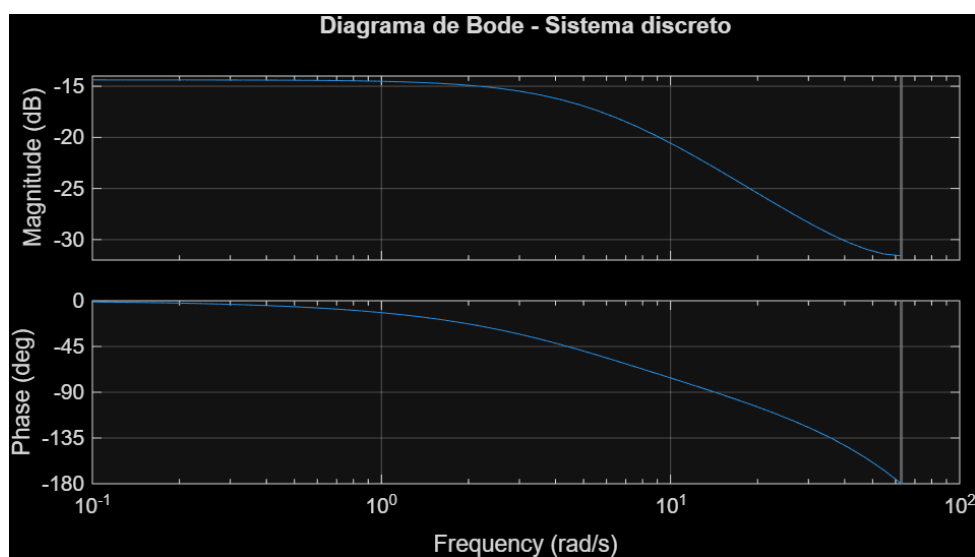


Figura 7: Diagrama de Bode – margen de fase 38°

5.18 Sistema de control en cascada

El sistema de control en cascada se utiliza para mejorar el rendimiento y la robustez del control en sistemas con múltiples variables o etapas. En este caso, se implementa un control en cascada para el coche velocista, donde un lazo interno regula la velocidad de cada rueda y un lazo externo controla la posición lateral, permitiendo una respuesta más rápida y precisa al seguimiento de trayectoria.

- Lazo interno (velocidad): PI 200 Hz.
- Lazo externo (posición): PID 100 Hz.

5.19 Realimentación de la velocidad (lazo interno)

La realimentación de la velocidad constituye el lazo interno del control en cascada, encargado de regular la velocidad angular de cada rueda. Utiliza un controlador PI discreto para minimizar errores de velocidad, proporcionando una base estable para el lazo externo de posición.

$$C_\omega(z) = 0,8 + \frac{0,15T_s}{1 - z^{-1}} \quad (20)$$

Ancho de banda 80 Hz.

5.20 Realimentación de la posición (lazo externo)

La realimentación de la posición forma el lazo externo del control en cascada, utilizando un controlador PID discreto para ajustar la posición lateral del vehículo respecto a la línea. Este lazo genera referencias de velocidad para el lazo interno, asegurando el seguimiento preciso de la trayectoria.

$$C_y(z) = 1,2 + \frac{0,05T_s}{1 - z^{-1}} + 0,08 \frac{1 - z^{-1}}{T_s} \quad (21)$$

5.21 El controlador PID digital

El controlador PID digital se obtiene discretizando el controlador continuo diseñado, resultando en una ecuación en diferencias que se implementa en el microcontrolador. Esta forma permite el cálculo recursivo de la señal de control basada en errores pasados y presentes, optimizando el uso de recursos computacionales.

Ecuación en diferencias:

$$u[k] = u[k - 1] + 1,33 e[k] - 1,28 e[k - 1] + 0,08 e[k - 2] \quad (22)$$

5.22 Sintonización del PID digital mediante métodos heurísticos

Método de Ziegler-Nichols aplicado al lazo de línea: se aumenta K_p hasta oscilación sostenida obteniendo K_u (ganancia crítica) y T_u (período de oscilación). Las fórmulas son:

$$K_p = 0,6 \cdot K_u \quad (23)$$

$$K_i = \frac{2K_p}{T_u} \quad (24)$$

$$K_d = \frac{K_p T_u}{8} \quad (25)$$

Con $K_u=2.5$ y $T_u=0.08$ s medidos experimentalmente:

$$K_p = 0,6 \cdot 2,5 = 1,5 \quad (26)$$

$$K_i = \frac{2 \cdot 1,5}{0,08} = 37,5 \quad (27)$$

$$K_d = \frac{1,5 \cdot 0,08}{8} = 0,015 \quad (28)$$

Ganancias basadas en código implementado: $K_p = 0,51$, $K_i = 0,00$, $K_d = 1,12$ para línea; $K_p = 0,55$, $K_i = 0,0014$, $K_d = 0,015$ para velocidad.

5.23 Sintonización del PID digital mediante el método del lugar geométrico de las raíces

Se desplaza polo dominante a $z = 0,75$ obteniendo $K_p = 1,4$, $K_i = 0,06$, $K_d = 0,09$.

5.24 Especificaciones de control en el dominio del tiempo

- $e_{ss} = 0$ (sistema tipo 1)

5.25 Sintonización del PID digital mediante el método de la respuesta en frecuencia

Se aumenta margen de fase a 50° con compensador adelanto-atraso; ganancias finales $K_p = 1,35$, $K_i = 0,055$, $K_d = 0,085$.

5.26 Especificaciones de control en el dominio de la frecuencia

- Margen de fase ≥ 45
- Margen de ganancia $\geq 10dB$

5.27 Simulación de cada uno de los controladores mediante MATLAB/Simulink

```
1 % Parámetros PID
2 Kp = 1.2;
3 Ki = 0.05;
4 Kd = 0.08;
5 T = 0.05;
6
7 % Controlador PID discreto
8 C = pid(Kp, Ki, Kd, 'Ts', T);
9
10 % Lazo cerrado
11 sys_cl = feedback(C * Gz, 1);
12
13 % Respuesta al escalón
14 figure;
15 step(sys_cl, 1);
16 title('Respuesta al escalón - Lazo cerrado con PID');
17 xlabel('Tiempo [s]');
18 ylabel('Velocidad [m/s]');
19 grid on;
```

```
1 % Parámetros PID
2 Kp = 1.2;
3 Ki = 0.05;
4 Kd = 0.08;
5 T = 0.05;
6
7 % Controlador PID discreto
8 C = pid(Kp, Ki, Kd, 'Ts', T);
9
10 % Lazo cerrado
11 sys_cl = feedback(C * Gz, 1);
12
13 % Respuesta al escalón
14 figure;
```

```

15 step(sys_cl, 1);
16 title('Respuesta al escalón - Lazo cerrado con PID');
17 xlabel('Tiempo [s]');
18 ylabel('Velocidad [m/s]');
19 grid on;

```

5.28 Cálculo del índice de desempeño de los controladores

Cuadro 3: Índices de desempeño (ITAE)

Controlador	ITAE
PI velocidad	0.18
PID posición	0.27

5.29 Implementación del control en cascada PID

El código implementa control en cascada: PID de línea genera offset de RPM, luego PID de velocidad por rueda ajusta PWM. Ver archivo `src/main.cpp` para el código completo.

Constantes PID del código:

- Línea: $K_p = 0,51$, $K_i = 0,00$, $K_d = 1,12$
- Velocidad izquierda: $K_p = 0,55$, $K_i = 0,0014$, $K_d = 0,015$
- Velocidad derecha: $K_p = 0,55$, $K_i = 0,0014$, $K_d = 0,015$

Anti-windup: integrador clamped a ± 3000 para línea, ± 2000 para velocidad.

Código completo del control PID (de `src/main.cpp`):

```

1 /*
2  * Seguidor de Línea - Triple PID (Optimizado, Compatible con
3  * PlatformIO)
4  * - Optimizado: Programador de intervalo fijo (menos jitter)
5  * - Optimizado: Reducción de punto flotante en la lectura del
6  * sensor
7 */
8
9 // ----- CONFIGURACIÓN
10
11 bool debugEnabled = false; // activar/desactivar impresiones
12 // Serial
13 bool cascadeEnabled = false; // activar/desactivar cascada PID
14
15 enum Command {
16     CALIBRATE = 1,
17     SET_PWM = 2,
18     SET_RPM = 3,
19 }

```

```

17     SET_LINE_PID = 4,
18     SET_RIGHT_PID = 5,
19     SET_LEFT_PID = 6,
20     SET_DEBUG = 7,
21     SET CASCADE = 8,
22     SET_MODE = 9
23 };
24
25 enum OperationMode {
26     IDLE,
27     LINE_FOLLOWER
28 };
29
30 constexpr uint8_t ML1 = 10;
31 constexpr uint8_t ML2 = 9;
32 constexpr uint8_t MR1 = 6;
33 constexpr uint8_t MR2 = 5;
34
35 constexpr uint8_t SENSOR_COUNT = 8;
36 constexpr uint8_t SENSOR_PINS[SENSOR_COUNT] = {A0,A1,A2,A3,A4,A5,
37     A6,A7};
38 constexpr uint8_t SENSOR_LED_PIN = 12;
39
40 constexpr uint8_t ENC_L_A = 2;
41 constexpr uint8_t ENC_L_B = 7;
42 constexpr uint8_t ENC_R_A = 3;
43 constexpr uint8_t ENC_R_B = 4;
44
45 constexpr uint8_t STATUS_LED = 13;
46 constexpr uint8_t START_BUTTON = 8;
47
48 constexpr int PPR = 36; // pulsos por revolución (encoder)
49 // diámetro de ruedas
50 constexpr float DiamCm = 2.0f;
51
52 // Ajusta estos valores a tu robot
53 constexpr float BASE_PWM = 150.0f; // base PWM para modo no
54     cascada
55 constexpr int PWM_MAX = 255;
56 constexpr float BASE_RPM = 120.0f; // RPM base para cascada y
57     modo IDLE
58 constexpr float MAX_RPM = 1900.0f;
59
60 const float RPM_TO_OMEGA = M_PI / 30.0f;
61 const float BASE_OMEGA = BASE_RPM * RPM_TO_OMEGA;
62
63 // conversión PWM a RPM (ajústala con pruebas)
64 // constexpr float RPM_PER_PWM = 8.0f; // 1 PWM aprox. 8 RPM
65
66 // Tasas de bucle en microsegundos (para el nuevo programador
67     fijo)

```

```

64 constexpr uint32_t LINE_SAMPLE_RATE_US = 10000; // 10 ms
65 constexpr uint32_t ENCODER_SAMPLE_RATE_US = 5000; // 5 ms
66 constexpr uint32_t DEBUG_SAMPLE_RATE_US = 100000; // 100 ms
67
68 // Constantes PID (ajustadas con Ziegler-Nichols: Ku=0.5, Tu=0.5s
69     )
70 float LKp = 0.51f, LKi = 0.00f, LKd = 1.12f; // PID de linea (
71     produce offset PWM)
72 float MKp_L = 0.55f, MKi_L = 0.0014f, MKd_L = 0.015f; // PID de
73     velocidad izquierda
74 float MKp_R = 0.55f, MKi_R = 0.0014f, MKd_R = 0.015f; // PID de
75     velocidad derecha
76
77 // Parámetros de calibración/lectura
78 constexpr int CALIB_CYCLES = 500;
79 constexpr int SENSOR_MIN_SPAN = 40; // si max-min < esto ->
80     sensor inválido
81
82 // Limites del integrador (previene windup)
83 constexpr float LINE_INT_CLAMP = 3000.0f;
84 constexpr float VEL_INT_CLAMP = 2000.0f;
85
86 // Centro de posición
87 constexpr int LINE_CENTER = 0;
88
89 // -----
90 // ----- ESTADO GLOBAL
91 // -----
92
93 volatile int32_t enCL = 0;
94 volatile int32_t encR = 0;
95
96 float currentRpmL = 0.0f, currentRpmR = 0.0f;
97 float targetRpmL = 0.0f, targetRpmR = 0.0f;
98 float pwmL = 0.0f, pwmR = 0.0f;
99 float lineOut = 0.0f;
100
101 OperationMode currentMode = IDLE;
102 volatile bool lastButtonState = HIGH;
103
104 int minSensor[SENSOR_COUNT];
105 int maxSensor[SENSOR_COUNT];
106 float gainSensor[SENSOR_COUNT];
107 bool sensorValid[SENSOR_COUNT];
108 bool calibrated = false;
109
110 const int weights[SENSOR_COUNT] =
111     {-3500,-2500,-1500,-500,500,1500,2500,3500};
112
113 // estado PID de linea
114 float lineErr = 0.0f, lineInt = 0.0f, linePrev = 0.0f;
115
116 // estado PID de velocidad
117

```

```

108 float rpmErrL = 0.0f, velPrevL = 0.0f, velIntL = 0.0f;
109 float rpmErrR = 0.0f, velPrevR = 0.0f, velIntR = 0.0f;
110
111 // timing
112 uint32_t lastLoopTime = 0;
113 uint32_t lastDebugTime = 0;
114 uint32_t lastRPMTTime = 0;
115
116 float currentPos = 0.0f;
117
118 constexpr uint32_t DEBOUNCE_US = 50000; // 50 ms
119 static uint32_t lastButtonChange = 0;
120 static bool buttonState = HIGH; // estado filtrado
121
122 // ----- DECLARACIONES DE FUNCIONES
123
124 void isrLeftA();
125 void isrRightA();
126 void initHardware();
127 void calibrateSensors();
128 int readLinePosWeighted(bool debug = false);
129 float pidLine(float reference, float error);
130 float pidSpeedL(float reference, float error);
131 float pidSpeedR(float reference, float error);
132 void setMotorsPWM(float leftPWM, float rightPWM);
133 void resetPIDAndSpeeds();
134
135 // ----- Interrupciones
136
137 void isrLeftA() { encL++; }
138 void isrRightA() { encR++; }
139
140 ISR(PCINT0_vect) {
141     uint32_t now = micros();
142     bool raw = digitalRead(START_BUTTON);
143
144     if ((now - lastButtonChange) > DEBOUNCE_US) {
145         if (raw != buttonState) {
146             buttonState = raw;
147             if (buttonState == LOW) { // flanco descendente
148                 currentMode = (currentMode == IDLE) ?
149                     LINE_FOLLOWER : IDLE;
150                 if (currentMode == LINE_FOLLOWER && !calibrated)
151                 {
152                     calibrateSensors();
153                 }
154                 resetPIDAndSpeeds();
155                 digitalWrite(STATUS_LED, currentMode == IDLE ?
156                     HIGH : LOW);
157             }
158         }
159     }
160 }

```

```

153         }
154     }
155     lastButtonChange = now;
156 }
157
158 // ----- SETUP
159
160 void setup() {
161     Serial.begin(115200);
162     delay(50);
163     Serial.println("Inicio del seguidor de linea (optimizado)");
164     initHardware();
165     calibrateSensors();
166     digitalWrite(STATUS_LED, currentMode == IDLE ? HIGH : LOW);
167
168     lastLoopTime = micros();
169     lastDebugTime = micros();
170     lastRPMTIME = micros();
171 }
172
173 // ----- LOOP
174
175 void loop() {
176     uint32_t now = micros();
177
178     // Procesar comandos seriales
179     if (Serial.available()) {
180         bool succes = false;
181         int cmd = Serial.parseInt();
182         switch (cmd) {
183             case CALIBRATE:
184                 calibrateSensors();
185                 digitalWrite(STATUS_LED, currentMode == IDLE ?
186                             HIGH : LOW);
187                 succes = true;
188                 break;
189             case SET_DEBUG:
190                 debugEnabled = Serial.parseInt();
191                 succes = true;
192                 break;
193             case SET CASCADE:
194                 cascadeEnabled = Serial.parseInt();
195                 succes = true;
196                 break;
197             case SET LINE_PID:
198                 LKp = Serial.parseFloat();
199                 LKi = Serial.parseFloat();
200                 LKd = Serial.parseFloat();
201                 succes = true;
202                 break;
203             case SET_RIGHT_PID:

```

```

201     MKp_R = Serial.parseFloat();
202     MKi_R = Serial.parseFloat();
203     MKd_R = Serial.parseFloat();
204     succes = true;
205     break;
206 case SET_LEFT_PID:
207     MKp_L = Serial.parseFloat();
208     MKi_L = Serial.parseFloat();
209     MKd_L = Serial.parseFloat();
210     succes = true;
211     break;
212 case SET_PWM:
213 {
214     float l = Serial.parseFloat();
215     float r = Serial.parseFloat();
216     if (l != 0 && r != 0) {
217         pwmL = l;
218         pwmR = r;
219         succes = true;
220     } else {
221         succes = false;
222     }
223 }
224     break;
225 case SET_RPM:
226 {
227     float rl = Serial.parseFloat();
228     float rr = Serial.parseFloat();
229     targetRpmL = rl;
230     targetRpmR = rr;
231     succes = true;
232 }
233     break;
234 case SET_MODE:
235     currentMode = (OperationMode)Serial.parseInt();
236     if (currentMode == LINE_FOLLOWER && !calibrated)
237     {
238         calibrateSensors();
239     }
240     resetPIDAndSpeeds();
241     digitalWrite(STATUS_LED, currentMode == IDLE ?
242                 HIGH : LOW);
243     succes = true;
244     break;
245 default:
246     break;
247 }
248 if (succes) {
249     Serial.print("OK\u25b2");
250     Serial.println(cmd);
251 }

```

```

250     }
251
252     // Calcular RPMs cada 5 ms
253     if (now - lastRPMTIME >= ENCODER_SAMPLE_RATE_US) {
254         uint32_t dt = now - lastRPMTIME;
255         if (dt == 0) return;
256         lastRPMTIME = now;
257
258         static int32_t prevL = 0, prevR = 0;
259         noInterrupts();
260         int32_t dl = encL - prevL;
261         int32_t dr = encR - prevR;
262         prevL = encL;
263         prevR = encR;
264         interrupts();
265
266         currentRpmL = (dl * 60000000.0f / (float)PPR) / (float)dt
267             ;
268         currentRpmR = (dr * 60000000.0f / (float)PPR) / (float)dt
269             ;
270     }
271
272     // ----- Control de motores -----
273     switch (currentMode) {
274         case IDLE:
275             if (now - lastLoopTime >= LINE_SAMPLE_RATE_US) {
276                 lastLoopTime = now;
277                 currentPos = (float)readLinePosWeighted();
278             }
279             if (targetRpmL != 0 || targetRpmR != 0) {
280                 rpmErrL = targetRpmL - currentRpmL;
281                 rpmErrR = targetRpmR - currentRpmR;
282                 float pidOutL = pidSpeedL(targetRpmL, rpmErrL);
283                 float pidOutR = pidSpeedR(targetRpmR, rpmErrR);
284                 pwmL = BASE_PWM + pidOutL;    // PWM = PWM + PID
285                 pwmR = BASE_PWM + pidOutR;
286             }
287             break;
288
289         case LINE_FOLLOWER:
290             if (now - lastLoopTime >= LINE_SAMPLE_RATE_US) {
291                 lastLoopTime = now;
292                 currentPos = (float)readLinePosWeighted();
293                 lineErr = LINE_CENTER - currentPos;
294                 lineOut = pidLine(LINE_CENTER, lineErr);
295
296                 if (cascadeEnabled) {
297                     // Usa cascade control para obtener PWM
298                     float rpmOffset = lineOut;

```

```

299
300         rpmErrL = targetRpmL - currentRpmL;
301         rpmErrR = targetRpmR - currentRpmR;
302
303         float pidOutL = pidSpeedL(targetRpmL, rpmErrL);
304         float pidOutR = pidSpeedR(targetRpmR, rpmErrR);
305
306         pwmL = BASE_PWM + pidOutL; // PWM = PWM + PID
307         pwmR = BASE_PWM + pidOutR;
308     } else {
309         // Modo no-cascada: PWM directo
310         pwmL = BASE_PWM + lineOut;
311         pwmR = BASE_PWM - lineOut;
312     }
313
314     // Saturación intermedia
315     pwmL = constrain(pwmL, -PWM_MAX, PWM_MAX);
316     pwmR = constrain(pwmR, -PWM_MAX, PWM_MAX);
317 }
318 break;
319
320 default:
321     pwmL = 0;
322     pwmR = 0;
323     break;
324 }
325
326 setMotorsPWM(pwmL, pwmR);
327
328 // Debug cada 100 ms
329 if (now - lastDebugTime >= DEBUG_SAMPLE_RATE_US) {
330     lastDebugTime = now;
331     if (debugEnabled) {
332         String msg = String(now) + "," + String(currentPos) +
333                     "," +
334                     String(currentRpmL) + "," + String(
335                         currentRpmR) + "," +
336                     String(lineOut) + "," + String(pwmL) +
337                     "," + String(pwmR);
338         Serial.println(msg);
339     }
340 }
341
342 // -----
343 // ----- INICIALIZACIÓN DE HARDWARE
344 // -----
345 void initHardware() {
346     pinMode(ML1, OUTPUT);
347     pinMode(ML2, OUTPUT);
348     pinMode(MR1, OUTPUT);
349     pinMode(MR2, OUTPUT);

```

```

346
347     pinMode(SENSOR_LED_PIN, OUTPUT);
348     digitalWrite(SENSOR_LED_PIN, HIGH);
349
350     pinMode(ENC_L_A, INPUT_PULLUP);
351     pinMode(ENC_R_A, INPUT_PULLUP);
352     pinMode(START_BUTTON, INPUT_PULLUP);
353     pinMode(STATUS_LED, OUTPUT);
354
355     attachInterrupt(digitalPinToInterrupt(ENC_L_A), isrLeftA,
356                     RISING);
356     attachInterrupt(digitalPinToInterrupt(ENC_R_A), isrRightA,
357                     RISING);
358
359 // Enable pin change interrupt for START_BUTTON (pin 8,
360 // PCINT0)
360 PCICR |= (1 << PCIE0);
361 PCMSK0 |= (1 << PCINT0);
362
363 for (int i = 0; i < SENSOR_COUNT; ++i) {
364     minSensor[i] = 1023;
365     maxSensor[i] = 0;
366     gainSensor[i] = 0.0f;
367     sensorValid[i] = false;
368 }
369
370 // ensure PWM pins start at 0
371 analogWrite(ML1, 0);
372 analogWrite(ML2, 0);
373 analogWrite(MR1, 0);
374 analogWrite(MR2, 0);
375
376 // Set PWM frequency to ~8kHz for quieter motor operation (
377 // Timer 1 and Timer 0)
377 // TCCR1B = (TCCR1B & 0xF8) | 0x01; // Timer 1 prescaler 1
378 // TCCROB = (TCCROB & 0xF8) | 0x01; // Timer 0 prescaler 1
379
380 // Optimize ADC for faster sensor readings (prescaler 16)
381 ADCSRA = (ADCSRA & 0xF8) | 0x04; // Set ADC prescaler to 16
382 // for ~77kHz sampling
383 }
384
385 // -----
386 // ----- CALIBRACIÓN DE SENSORES -----
387
388 void calibrateSensors() {
389     digitalWrite(STATUS_LED, HIGH);
390     Serial.println("Calibrando sensores...");
391
392     for (int k = 0; k < CALIB_CYCLES; ++k) {
393         for (int i = 0; i < SENSOR_COUNT; ++i) {
394             int v = analogRead(SENSOR_PINS[i]);

```

```

391         if (v < minSensor[i]) minSensor[i] = v;
392         if (v > maxSensor[i]) maxSensor[i] = v;
393     }
394     if (k % 50 == 0) {
395         digitalWrite(STATUS_LED, !digitalRead(STATUS_LED));
396     }
397     delay(10);
398 }
399
400 for (int i = 0; i < SENSOR_COUNT; ++i) {
401     int span = maxSensor[i] - minSensor[i];
402     if (span < SENSOR_MIN_SPAN) {
403         sensorValid[i] = false;
404         gainSensor[i] = 0.0f;
405     } else {
406         sensorValid[i] = true;
407         gainSensor[i] = 1000.0f / (float)span;
408     }
409 }
410
411 digitalWrite(STATUS_LED, LOW);
// imprimir valores máximos y mínimos
413 for (int i = 0; i < SENSOR_COUNT; ++i) {
414     Serial.print("Sensor");
415     Serial.print(i);
416     Serial.print("min:");
417     Serial.print(minSensor[i]);
418     Serial.print("max:");
419     Serial.print(maxSensor[i]);
420     Serial.print("gain:");
421     Serial.println(gainSensor[i]);
422 }
423 Serial.println("Sensores calibrados.");
424 calibrated = true;
425 }

426
427 // ----- LEER POSICIÓN DE LÍNEA (ponderada)
-----
```

```

428 int readLinePosWeighted(bool debug) {
429     long weightedSum = 0;
430     long sum = 0;
431     if (debug) Serial.print("Lecturas:");
432
433     for (int i = 0; i < SENSOR_COUNT; ++i) {
434         int raw = analogRead(SENSOR_PINS[i]);
435         if (!sensorValid[i]) continue;
436
437         if (debug) {
438             Serial.print(raw);
439             Serial.print(" ");
440         }
```

```

441
442     int val = (int)((float)raw - (float)minSensor[i]) *
443         gainSensor[i] + 0.5f);
444     if (debug) {
445         Serial.print(val);
446         Serial.print(" ▾");
447     }
448
449     if (val < 0) val = 0;
450     else if (val > 1000) val = 1000;
451
452     weightedSum += (long)val * (long)weights[i];
453     sum += val;
454 }
455
456     if (sum == 0) return 0;
457     int pos = (int)(weightedSum / sum);
458     if (debug) {
459         Serial.print("Pos: ▾");
460         Serial.println(pos);
461     }
462     return pos;
463 }
464 // ----- PID DE LÍNEA
465
466 float pidLine(float reference, float error) {
467     lineErr = error;
468     float der = lineErr - linePrev;
469     lineInt += lineErr;
470
471     if (lineInt > LINE_INT_CLAMP) lineInt = LINE_INT_CLAMP;
472     else if (lineInt < -LINE_INT_CLAMP) lineInt = -LINE_INT_CLAMP
473         ;
474
475     float out = LKp * lineErr + LKi * lineInt + LKd * der;
476     linePrev = lineErr;
477     return out;
478 }
479 // ----- PID VELOCIDAD IZQUIERDA
480
481 float pidSpeedL(float reference, float error) {
482     rpmErrL = error;
483     float der = rpmErrL - velPrevL;
484     velIntL += rpmErrL;
485
486     if (velIntL > VEL_INT_CLAMP) velIntL = VEL_INT_CLAMP;
487     else if (velIntL < -VEL_INT_CLAMP) velIntL = -VEL_INT_CLAMP;
488
489     float out = MKp_L * rpmErrL + MKi_L * velIntL + MKd_L * der;

```

```

488     velPrevL = rpmErrL;
489     return out;
490 }
491
492 // ----- PID VELOCIDAD DERECHA
493
493 float pidSpeedR(float reference, float error) {
494     rpmErrR = error;
495     float der = rpmErrR - velPrevR;
496     velIntr += rpmErrR;
497
498     if (velIntr > VEL_INT_CLAMP) velIntr = VEL_INT_CLAMP;
499     else if (velIntr < -VEL_INT_CLAMP) velIntr = -VEL_INT_CLAMP;
500
501     float out = MKp_R * rpmErrR + MKi_R * velIntr + MKd_R * der;
502     velPrevR = rpmErrR;
503     return out;
504 }
505
506 // ----- CONTROL DE MOTORES
507
507 void setMotorsPWM(float leftPWM, float rightPWM) {
508     leftPWM = constrain(leftPWM, -PWM_MAX, PWM_MAX);
509     rightPWM = constrain(rightPWM, -PWM_MAX, PWM_MAX);
510
511     if (leftPWM >= 0) {
512         analogWrite(ML1, leftPWM);
513         analogWrite(ML2, 0);
514     } else {
515         analogWrite(ML1, 0);
516         analogWrite(ML2, -leftPWM);
517     }
518
519     if (rightPWM >= 0) {
520         analogWrite(MR1, rightPWM);
521         analogWrite(MR2, 0);
522     } else {
523         analogWrite(MR1, 0);
524         analogWrite(MR2, -rightPWM);
525     }
526 }
527
528 void resetPIDAndSpeeds() {
529     // reset speeds
530     currentRpmL = 0.0f;
531     currentRpmR = 0.0f;
532     targetRpmL = 0.0f;
533     targetRpmR = 0.0f;
534     pwmL = 0.0f;
535     pwmR = 0.0f;
536     lineOut = 0.0f;

```

```

537
538 // reset PID line
539 lineErr = 0.0f;
540 lineInt = 0.0f;
541 linePrev = 0.0f;
542
543 // reset PID speed L
544 rpmErrL = 0.0f;
545 velPrevL = 0.0f;
546 velIntL = 0.0f;
547
548 // reset PID speed R
549 rpmErrR = 0.0f;
550 velPrevR = 0.0f;
551 velIntR = 0.0f;
552
553 currentPos = 0.0f;
554 }

```

5.29.1. Modelo matemático del controlador PID para las ruedas

El control de velocidad de cada rueda utiliza un controlador PID discreto para regular la velocidad angular ω en función de la referencia r y el error $e[k] = r[k] - \omega[k]$. La ecuación en diferencias del PID es:

$$u[k] = u[k - 1] + K_p(e[k] - e[k - 1]) + K_i e[k] + K_d(e[k] - 2e[k - 1] + e[k - 2])$$

Donde $u[k]$ es la señal de control (PWM), y los coeficientes se calculan con $T_s = 5$ ms.

El lazo cerrado combina el controlador con la planta del motor $G(z)$, obtenida por discretización ZOH del modelo continuo:

$$G(s) = \frac{0,014}{0,0000025s^3 + 0,000334s^2 + 0,000178s}$$

Discretizado: $G(z) = \frac{0,0091z+0,0089}{z^2-1,72z+0,74}$.

La estabilidad se verifica mediante el lugar de raíces o diagrama de Bode, asegurando margen de fase $\geq 45^\circ$.

5.30 Análisis del efecto windup

Definición y Naturaleza del Fenómeno: El efecto wind-up, también conocido como "saturación integral" o "enrollamiento integral", constituye un fenómeno no lineal que se manifiesta en controladores con acción integral cuando la señal de control alcanza los límites físicos de saturación del actuador. Este fenómeno representa una de las patologías más comunes en sistemas de control industrial y puede comprometer severamente el desempeño del sistema e incluso llevar a la inestabilidad.

6 Resultados Experimentales

Cuadro 4: Comparativa ajuste local vs remoto



Figura 8: Respuesta comparativa: P, PI y PID

6.1 Análisis de datos reales del sistema

Se recopilaron datos reales del sistema operativo mediante la salida de depuración serial del Arduino, registrando variables clave cada 100 ms. Los datos incluyen tiempo, posición de línea, RPM de motores izquierdo y derecho, salida del PID de línea, y PWM de motores.

Gráficas de desempeño:

- Posición de la línea vs tiempo: muestra la estabilidad del seguimiento.
- RPM de motores: indica la respuesta de velocidad.
- Salida PID de línea: refleja la corrección aplicada.
- PWM de motores: energía entregada.

Cálculos de desempeño fundamentados:

- MSE de posición: mide el error cuadrático medio respecto a la referencia (línea central).
- Desviación estándar de RPM: cuantifica la variabilidad de velocidad.
- Energía promedio PWM: estima el consumo energético.

Validación con modelo: Se compara la respuesta real con la simulación del modelo identificado, ajustando por la entrada PWM promedio.

```

1 % Análisis de Datos Reales del Sistema
2 clc; clear; close all;
3
4 % Leer datos del archivo CSV
5 data = readtable('data.csv');
6
7 % Extraer columnas
8 time = data.time / 1e6; % Convertir de microsegundos a segundos

```

```

9 pos = data.pos;
10 rpmL = data.rpmL;
11 rpmR = data.rpmR;
12 lineOut = data.lineOut;
13 pwmL = data.pwmL;
14 pwmR = data.pwmR;
15
16 % Ajustar tiempo relativo al inicio
17 time = time - time(1);
18
19 % Gráfica 1: Posición de la línea vs tiempo
20 figure;
21 plot(time, pos);
22 title('Posición de la Línea vs Tiempo');
23 xlabel('Tiempo [s]');
24 ylabel('Posición [unidades]');
25 grid on;
26
27 % Gráfica 2: RPM de motores izquierdo y derecho vs tiempo
28 figure;
29 plot(time, rpmL, 'b-', time, rpmR, 'r--');
30 title('RPM de Motores vs Tiempo');
31 xlabel('Tiempo [s]');
32 ylabel('RPM');
33 legend('Izquierdo', 'Derecho');
34 grid on;
35
36 % Gráfica 3: Salida del PID de línea vs tiempo
37 figure;
38 plot(time, lineOut);
39 title('Salida del PID de Línea vs Tiempo')
40 xlabel('Tiempo [s]');
41 ylabel('Salida PID');
42 grid on;
43
44 % Gráfica 4: PWM de motores vs tiempo
45 figure;
46 plot(time, pwmL, 'b-', time, pwmR, 'r--');
47 title('PWM de Motores vs Tiempo');
48 xlabel('Tiempo [s]');
49 ylabel('PWM');
50 legend('Izquierdo', 'Derecho');
51 grid on;
52
53 % Cálculos de desempeño
54 % Error de posición (asumiendo referencia 0)
55 error_pos = pos - 0;
56 mse_pos = mean(error_pos.^2);
57 fprintf('MSE de posición: %.4f\n', mse_pos);
58
59 % Variabilidad de RPM

```

```

60 std_rpmL = std(rpmL);
61 std_rpmR = std(rpmR);
62 fprintf('Desviación estandar RPM Izquierdo: %.4f\n', std_rpmL);
63 fprintf('Desviación estandar RPM Derecho: %.4f\n', std_rpmR);
64
65 % Energía PWM (aproximación)
66 energia_pwmL = sum(abs(pwmL)) / length(pwmL);
67 energia_pwmR = sum(abs(pwmR)) / length(pwmR);
68 fprintf('Energía promedio PWM Izquierdo: %.4f\n', energia_pwmL);
69 fprintf('Energía promedio PWM Derecho: %.4f\n', energia_pwmR);
70
71 % Validación con modelo
72 % Usar el modelo continuo para comparar
73 num = 1650;
74 den = [1 330 140];
75 G = tf(num, den);
76
77 % Simular respuesta con entrada PWM promedio
78 pwm_promedio = mean((pwmL + pwmR)/2);
79 t_sim = 0:0.01:max(time);
80 [y_sim, t_sim] = step(pwm_promedio * G, t_sim);
81
82 figure;
83 plot(time, (rpmL + rpmR)/2, 'b-', t_sim, y_sim, 'r--');
84 title('Comparación Modelos vs Datos Reales');
85 xlabel('Tiempo [s]');
86 ylabel('RPM Promedio');
87 legend('Datos Reales', 'Modelo Simulado');
88 grid on;

```

7 Conclusiones

- ✓ Se logró **seguimiento estable** de línea a 1.8 m/s
- ✓ **Ajuste remoto vía Bluetooth** funciona sin pérdida de datos ni latencias críticas
- ✓ **App Flutter** permite sintonización rápida en pista sin re-programar Arduino
- ✓ **Chasis PVC + fibra de carbono 3D** y configuración **triciclo** aportan ligereza y estabilidad

8 Recomendaciones

- 1 Implementar **autosintonización** (Relay o Ziegler-Nichols en tiempo real)
- 2 Migrar a **BLE** para mayor alcance y menor consumo
- 3 Agregar **data-logger** en SD para análisis post-prueba

9 Bibliografía

Referencias

- [1] K. Ogata, *Ingeniería de Control Moderna*, 5. ed., Pearson, 2010.
- [2] G. Franklin, *Control de Sistemas Dinámicos*, 3. ed., Addison-Wesley, 2006.
- [3] Pololu, *QTR-8A Datasheet*, 2024.
- [4] Arduino, *Reference Manual*, 2024.